

Universidad del País Vasco

**Desarrollo de un Método de Elementos Finitos  
Para Realizar Simulaciones Multifísicas  
de Gran Precisión**

**David Pardo, Myung Jin Nam, Carlos Torres-Verdín**  
*Research Professor at BCAM*

*Equipo: D. Pardo, M. J. Nam, V. Calo, L.E. García-Castillo,  
M. Paszynski, P. Matuszyk, L. Demkowicz, C. Torres-Verdín*

**8 de Enero de 2009**

(bcam)

[www.bcamath.org](http://www.bcamath.org)  
basque center for applied mathematics



# sumario

---

## 1. Motivación y Objetivos: Inversión de Mediciones Multifísicas

## 2. Simulación de Problemas Directos:

- Estrategía de Refinamientos Automáticos de Elementos Finitos en hp (generación de mallados óptimos)
- El diagrama de “Rham”
- Aplicaciones Electromagnéticas y Acústicas

## 3. Librería de Inversión

- Método de Newton Adaptativo en  $h$
- Implementación

## 4. Conclusiones

# motivación y objetivos

## Mediciones Sísmicas

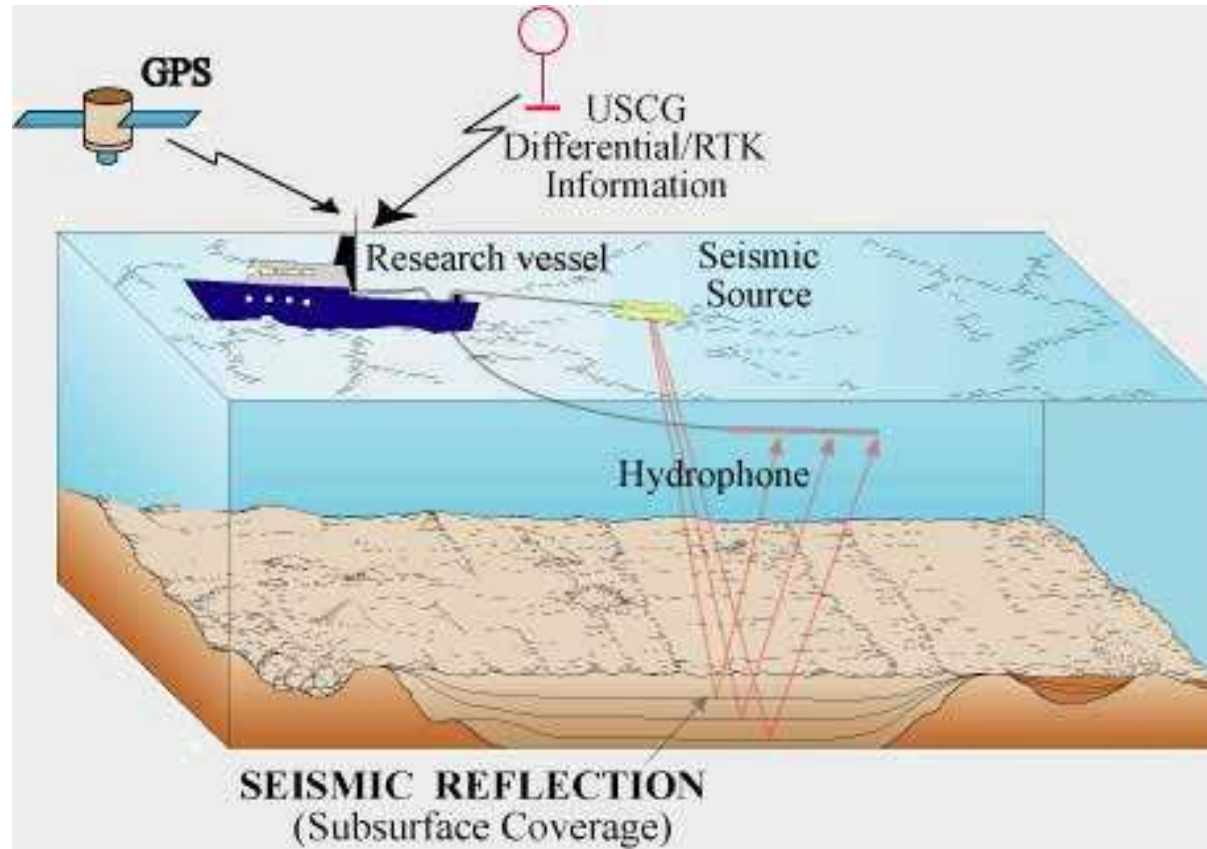


Figura del USGS Science Center for Coastal and Marine Geology

# motivación y objetivos

## Mediciones Electromagnéticas

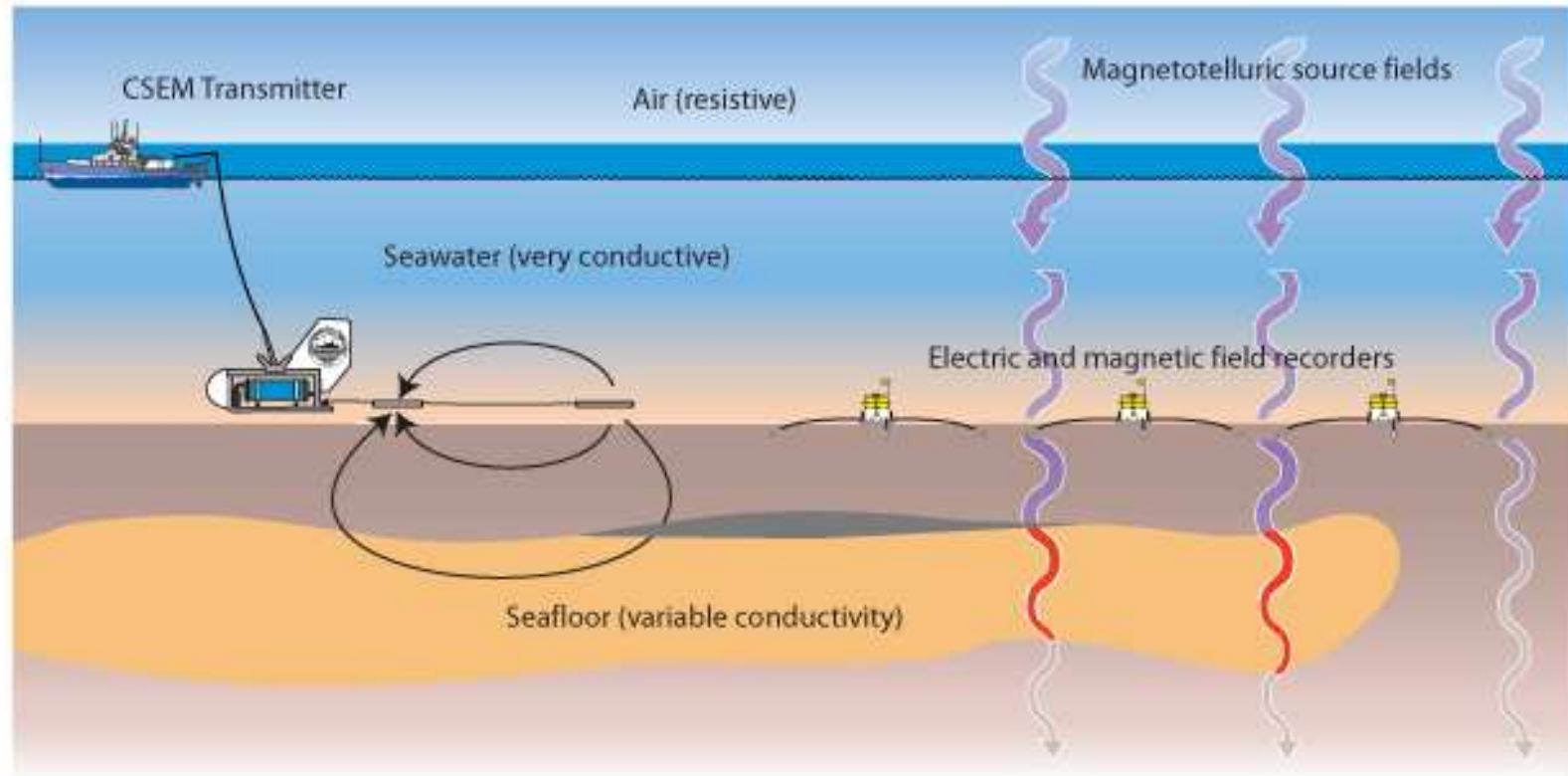
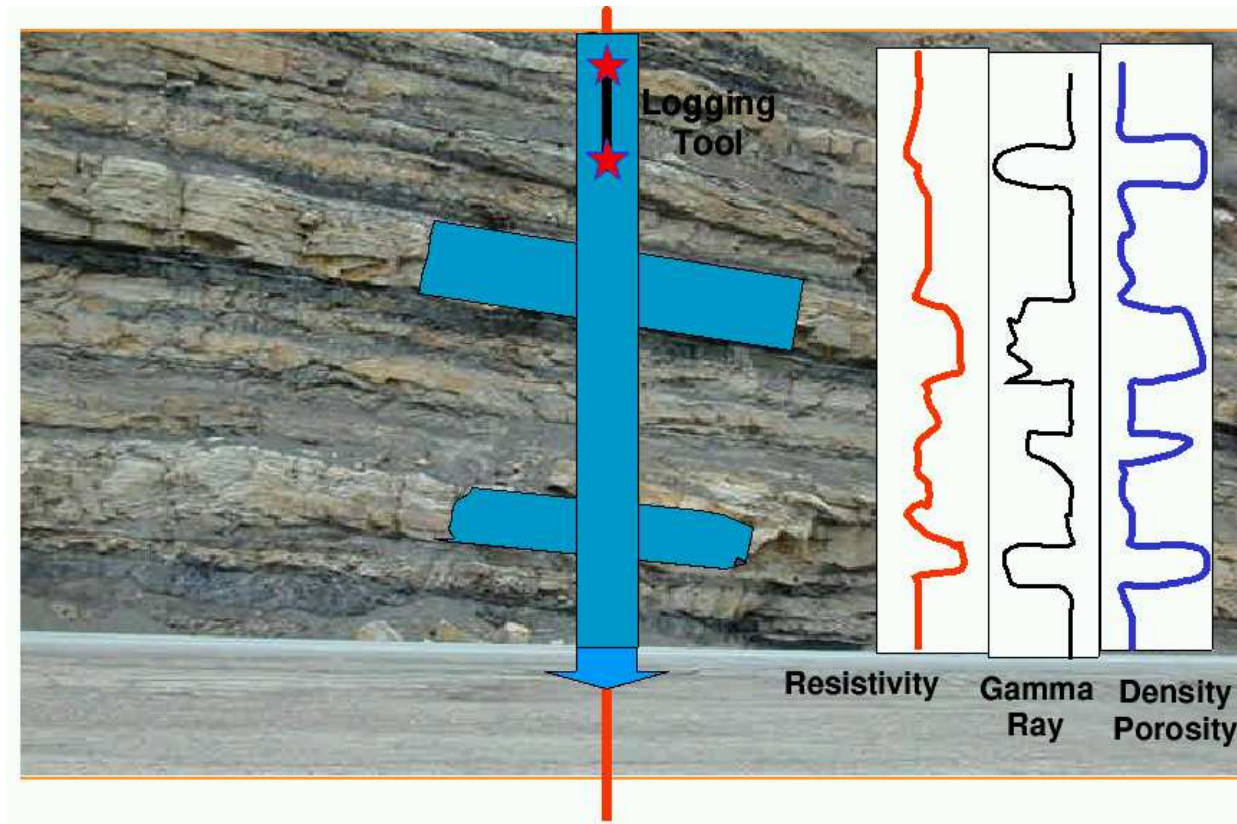


Figura del UCSD Institute of Oceanography

# motivación y objetivos

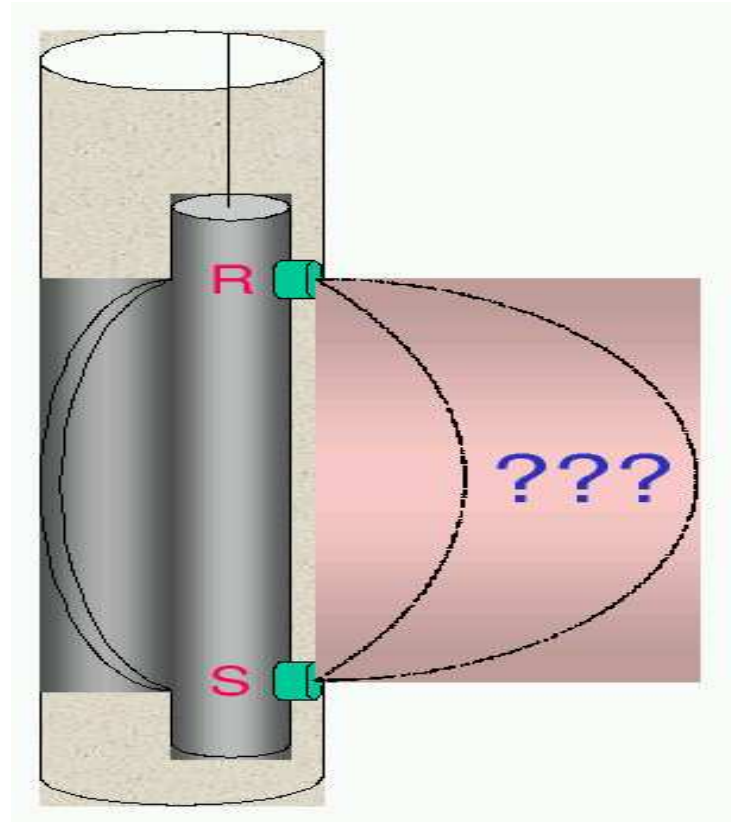
## Herramientas de Perforación: Utilidad



**OBJECTIVOS:** Determinar las zonas porosas, la cantidad de hidrocarburos (petróleo y gas) y la posibilidad (o no) de extraerlos a la superficie.

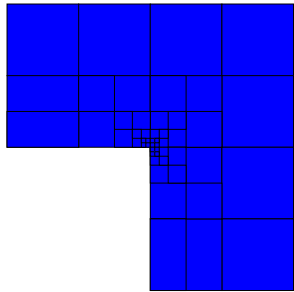
# motivación y objetivos

## Objetivo Principal: Resolver un Problema Inverso



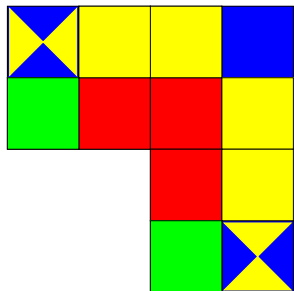
Software para resolver el problema DIRECTO es esencial para resolver el problema INVERSO.

# simulación de problemas directos (hp-mef)



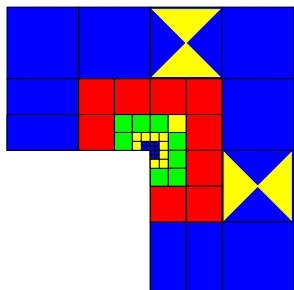
## El Método de Elementos Finitos en $h$

1. La velocidad de convergencia esta limitada por el orden de aproximación polinomial y el contraste en los materiales.
2. **NO converge exponencialmente en simulaciones reales.**
3. Se pueden “bloquear” (100% error).



## El Método de Elementos Finitos en $p$

1. Convergen exponencialmente en problemas con alta regularidad.
2. NO converge exponencialmente en simulaciones reales.
3. **Si el mallado inicial en  $h$  no es adecuado, el MEF en  $p$  es peor que el MEF en  $h$ .**



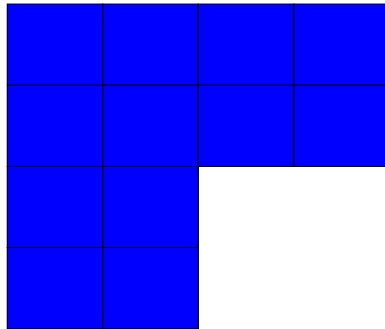
## El Método de Elementos Finitos en $hp$

1. Convergencia exponencial en problemas reales.
2. Aunque la malla inicial en  $hp$  no sea adecuada, la convergencia será muy rápida.

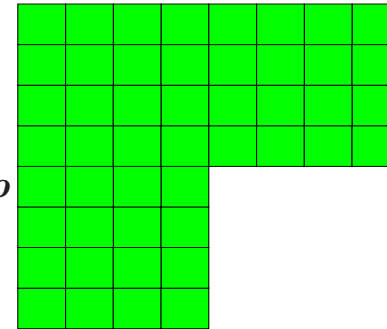
# simulación de problemas directos (hp-mef)

Refinamientos automáticos en  $hp$

Mallas gruesas  
( $hp$ )

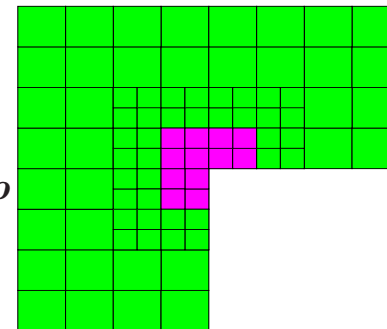
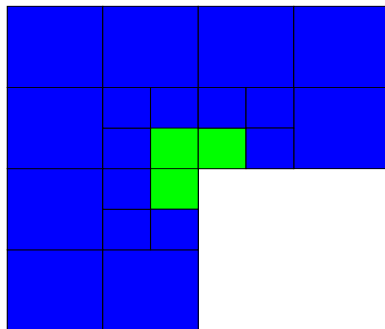


Mallas finas  
( $h/2, p + 1$ )



Refinamiento global  $hp$

Refinamiento global  $hp$



**MÉTODO DE SOL. EN MALLAS FINAS:  
RESOLVEDOR DE DOS MALLAS**



# simulación de problemas directos (hp-mef)

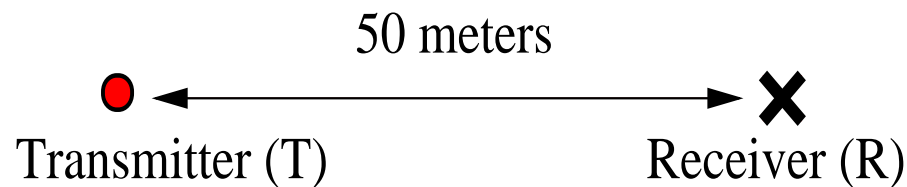
Motivación (Adaptatividad 'Orientada a un Objetivo')

## Problema Modelo

Infinite Domain

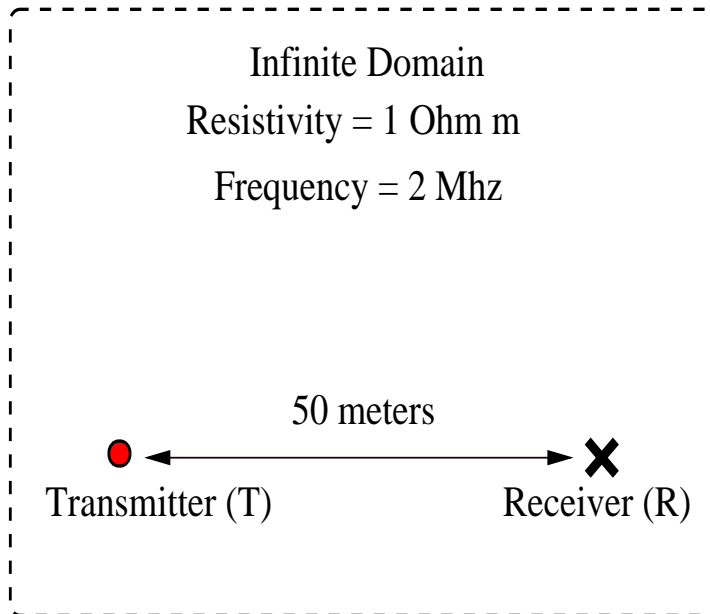
Resistivity = 1 Ohm m

Frequency = 2 Mhz



# simulación de problemas directos (hp-mef)

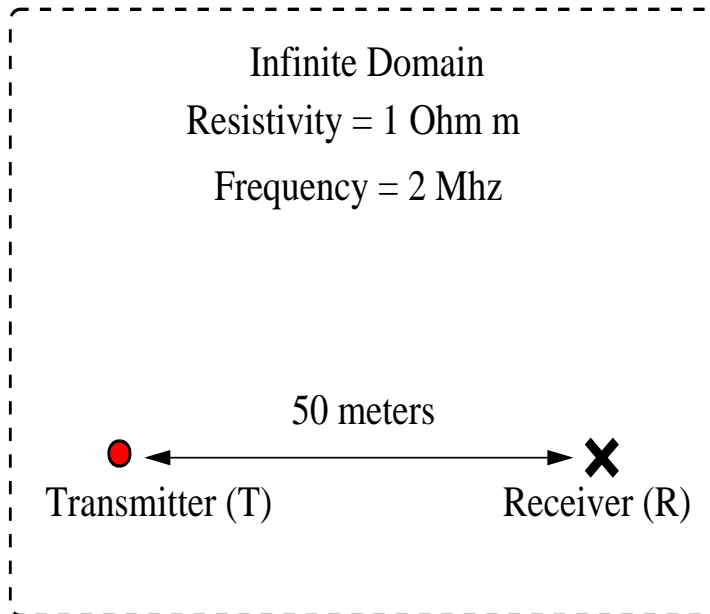
## Motivación (Adaptatividad 'Orientada a un Objetivo')



- La solución decae exponencialmente.
- $\frac{|E(T)|}{|E(R)|} \approx 10^{60}$
- Resultados basados en la adaptatividad en la norma de la energía:
  - Error en la norma de la energía: 0.001%
  - Error relativo en la cantidad de interés  $> 10^{30}$  %.

# simulación de problemas directos (hp-mef)

## Motivación (Adaptatividad 'Orientada a un Objetivo')

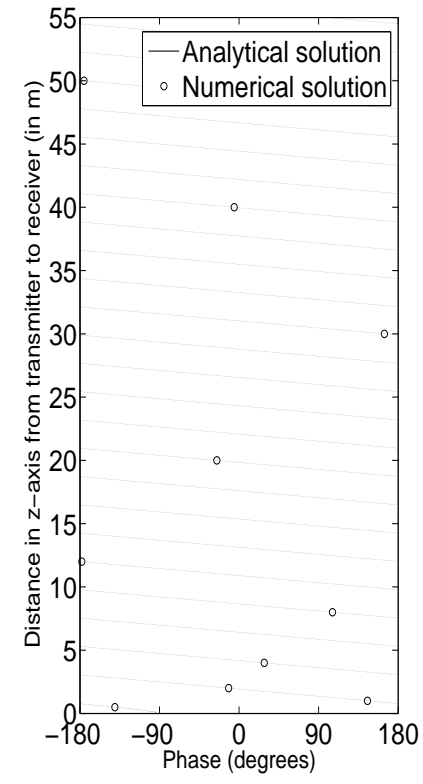
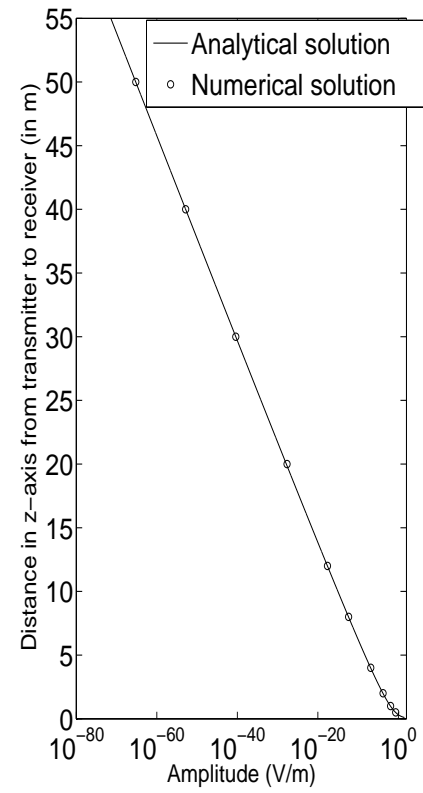
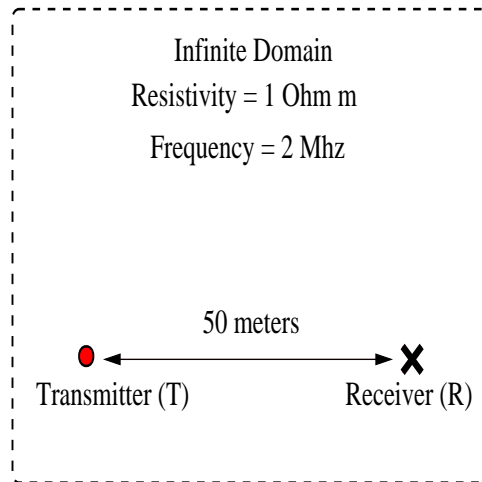


- La solución decae exponencialmente.
- $\frac{|E(T)|}{|E(R)|} \approx 10^{60}$
- Resultados basados en la adaptatividad en la norma de la energía:
  - Error en la norma de la energía: 0.001%
  - Error relativo en la cantidad de interés  $> 10^{30}$  %.

**Necesitamos adaptatividad orientada a un objetivo.** Becker-Rannacher (1995,1996), Rannacher-Stuttmeier (1997), Cirak-Ramm (1998), Paraschivoiu-Patera (1998), Peraire-Patera (1998), Prudhomme-Oden (1999, 2001), Heuveline-Rannacher (2003), Solin-Demkowicz (2004).

# simulación de problemas directos (hp-mef)

## Motivación (Adaptatividad 'Orientada a un Objetivo')



**Necesitamos adaptatividad orientada a un objetivo**

## simulación de problemas directos (hp-mef)

---

Formulación Matemática (Adaptatividad 'Orientada a un Objetivo')

Consideramos el siguiente problema (formulación variacional):

$$\begin{cases} \text{Encontrar } L(\Psi), \text{ donde } \Psi \in V \text{ tal que :} \\ b(\Psi, \xi) = f(\xi) \quad \forall \xi \in V . \end{cases}$$

Definimos el residual  $r_e(\xi) = b(e, \xi)$ . Buscamos una función  $G$  solución del siguiente problema:

$$\begin{cases} \text{Encontrar } G \in V'' \sim V \text{ tal que :} \\ G(r_e) = L(e) . \end{cases}$$

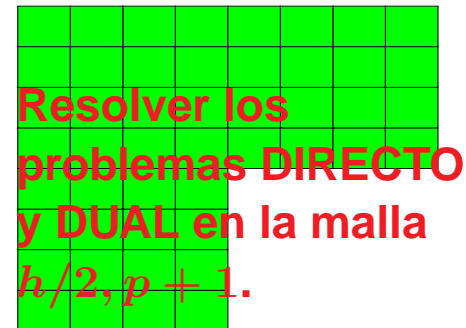
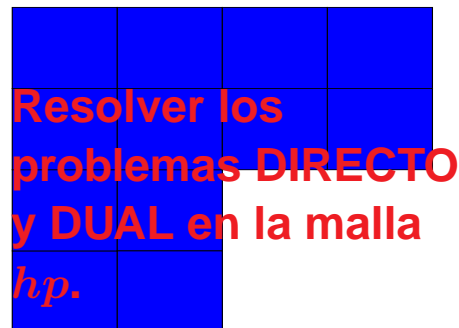
$G$  es la solución del *problema dual*:

$$\begin{cases} \text{Encontrar } G \in V \text{ tal que :} \\ b(\Psi, G) = L(\Psi) \quad \forall \Psi \in V . \end{cases}$$

En particular,  $L(e) = b(e, G)$ .

# simulación de problemas directos (hp-mef)

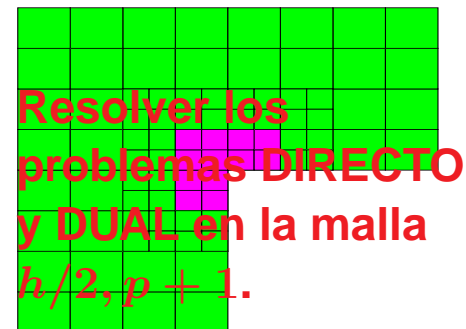
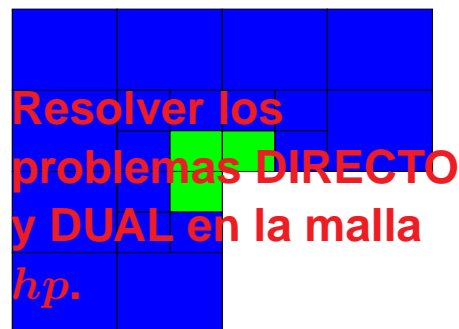
Algoritmo de auto-adaptatividad 'orientada a un objetivo' en  $hp$



Calcular  $e = \Psi_{h/2,p+1} - \Psi_{hp}$ , y  $\epsilon = G_{h/2,p+1} - G_{hp}$ .

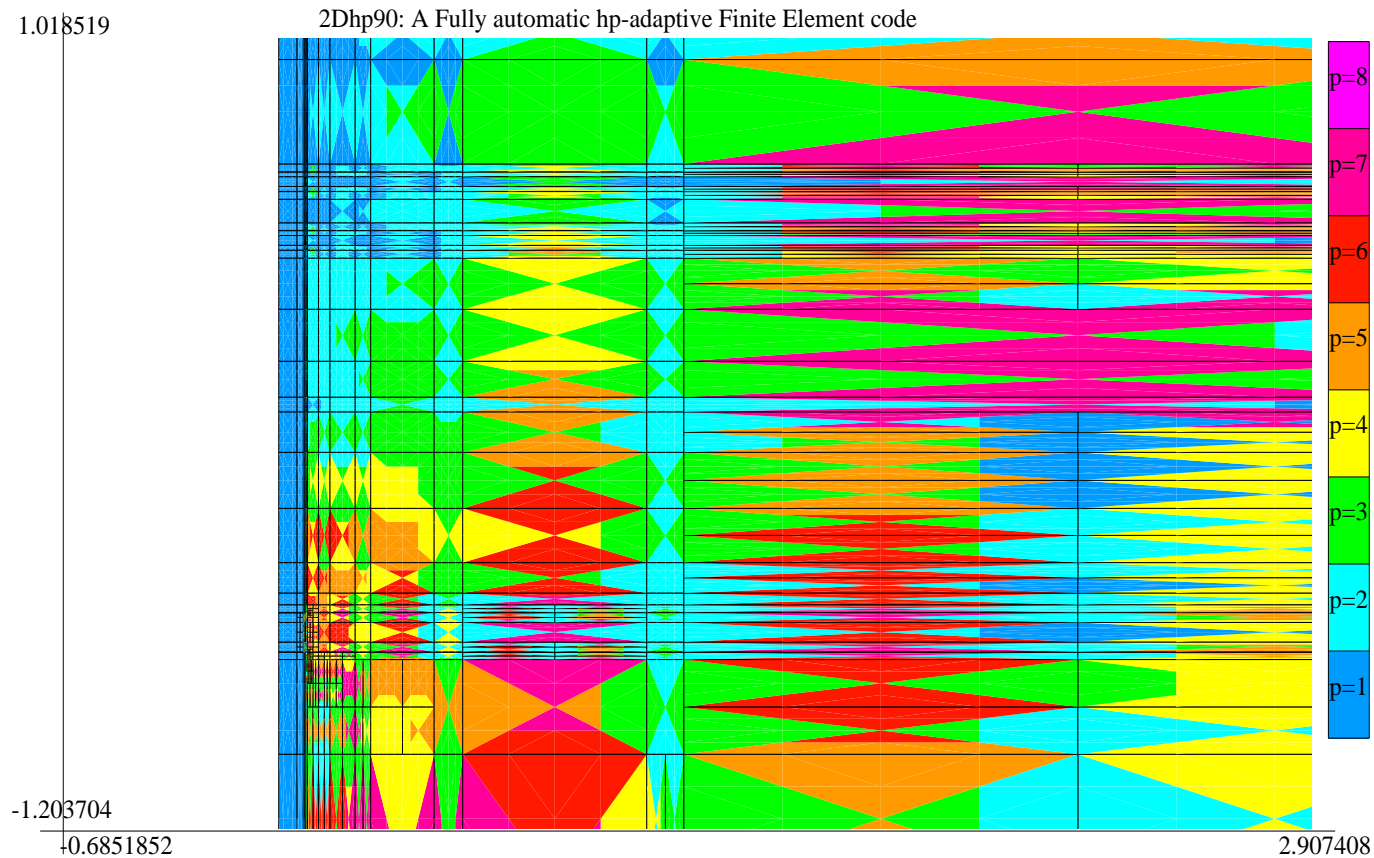
Representar el error  $|L(e)| = |b(e, \epsilon)| \leq \sum_K |b_K(e, \epsilon)|$ .

Usar la auto-adaptabilidad  $hp$  basada en la norma de la energía.



# simulación de problemas directos (hp-mef)

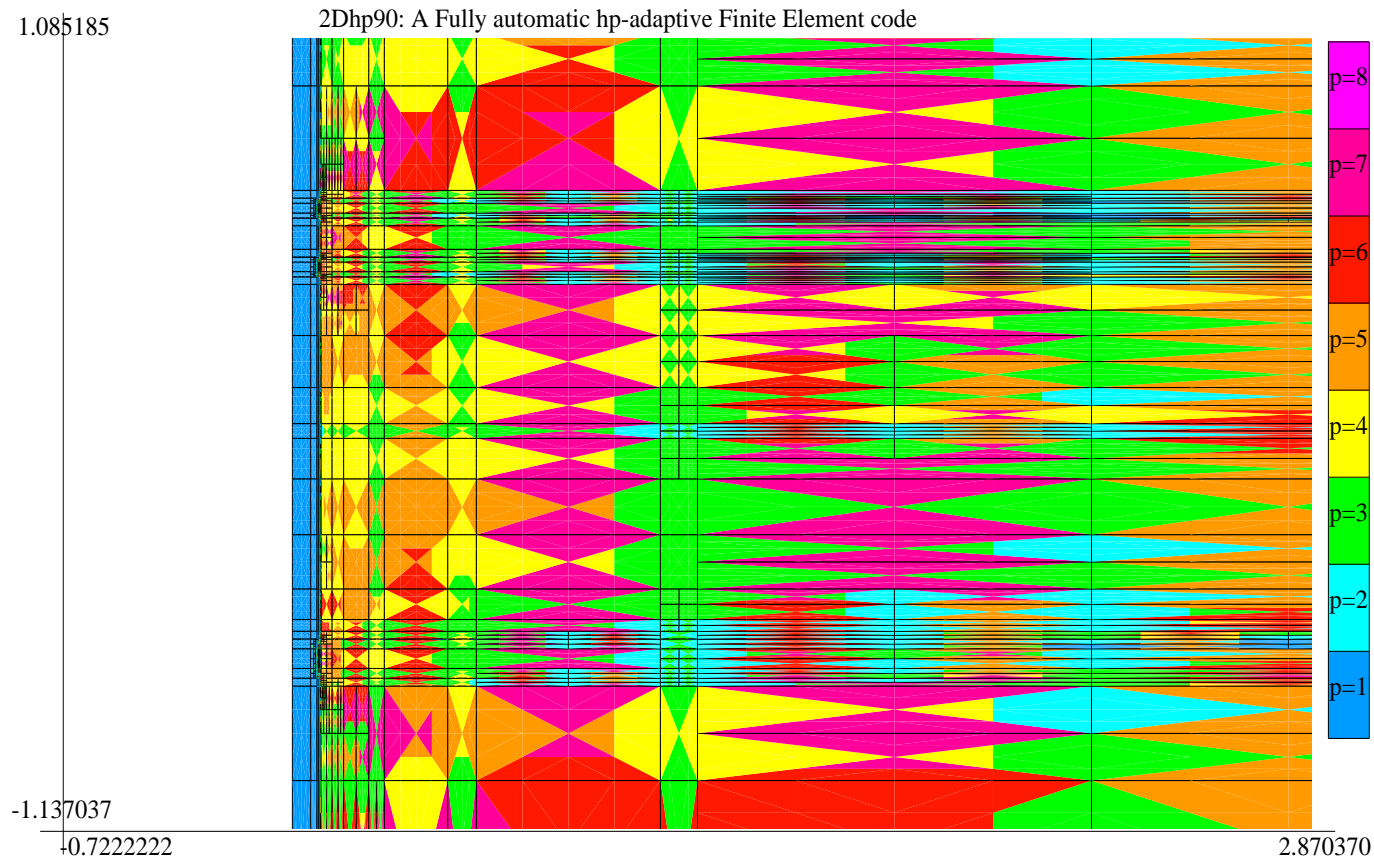
## Simulación Axisimétrica de Herramienta Logging-While-Drilling (LWD) ADAPTATIVIDAD HP EN LA NORMA DE LA ENERGÍA



# simulación de problemas directos (hp-mef)

Simulación Axisimétrica de Herramienta Logging-While-Drilling (LWD)

**ADAPTATIVIDAD HP ORIENTADA A UN OBJETIVO**

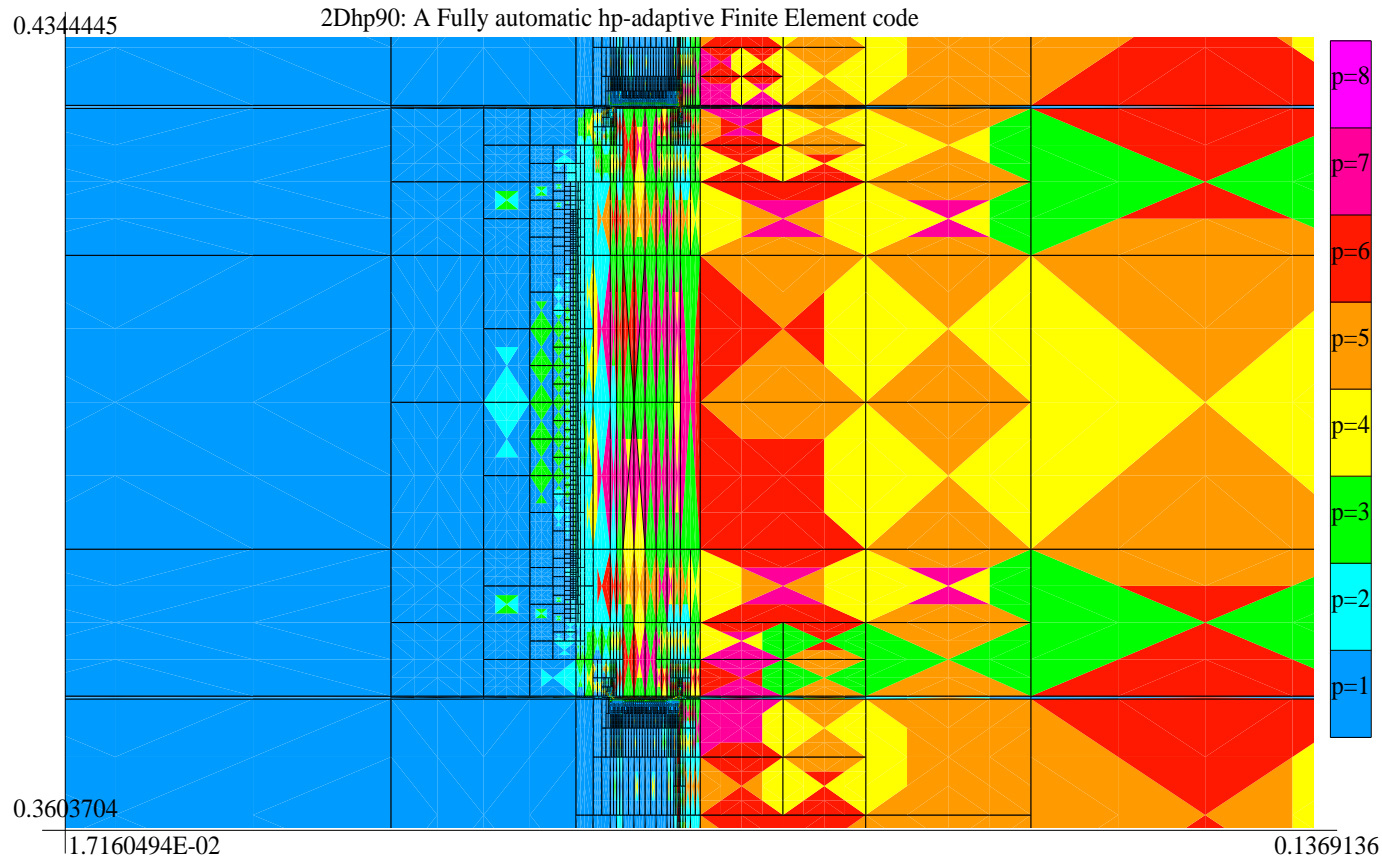




# simulación de problemas directos (hp-mef)

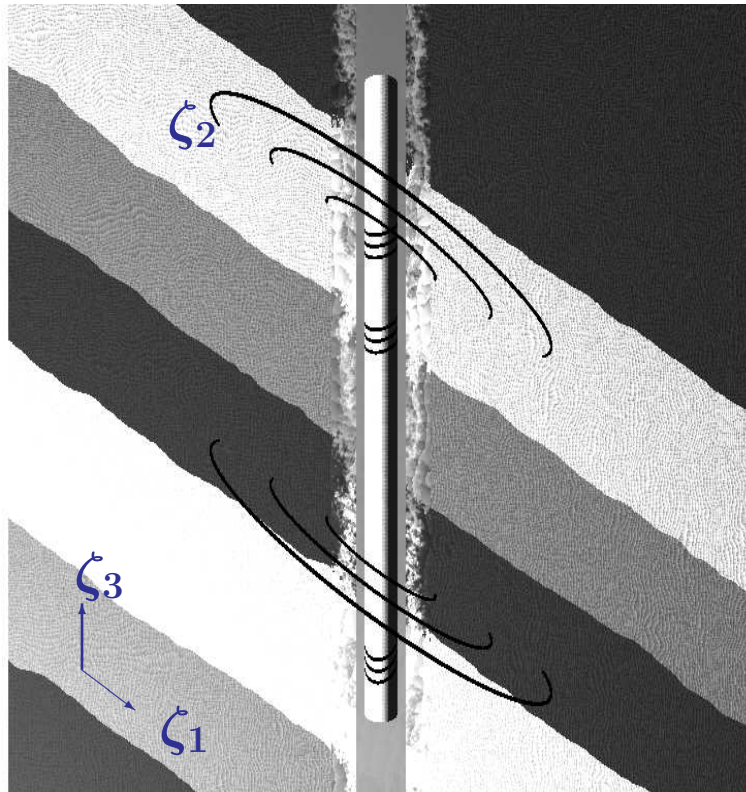
Simulación Axisimétrica de Herramienta Logging-While-Drilling (LWD)

**ADAPTATIVIDAD (Zoom hacia la primera antena receptora)**



# simulación de problemas directos (hp-mef)

## Sistema de Coordenadas NO Ortogonal



## Expansión de Fourier en $\zeta_2$

Cero Frecuencia:  $-\nabla \sigma \nabla u = f$

$$u(\zeta_1, \zeta_2, \zeta_3) = \sum_{l=-\infty}^{l=\infty} u_l(\zeta_1, \zeta_3) e^{jl\zeta_2}$$

$$\sigma(\zeta_1, \zeta_2, \zeta_3) = \sum_{m=-\infty}^{m=\infty} \sigma_m(\zeta_1, \zeta_3) e^{jm\zeta_2}$$

$$f(\zeta_1, \zeta_2, \zeta_3) = \sum_{n=-\infty}^{n=\infty} f_n(\zeta_1, \zeta_3) e^{jn\zeta_2}$$

Los modos de Fourier  $e^{jl\zeta_2}$  constituyen una base ortogonal (en  $L^2$ ) de orden superior.

# simulación de problemas directos (hp-mef)

## El diagrama de Rham

El diagrama de Rham juega un papel fundamental en la teoría de Elementos Finitos con aplicaciones multifísicas.

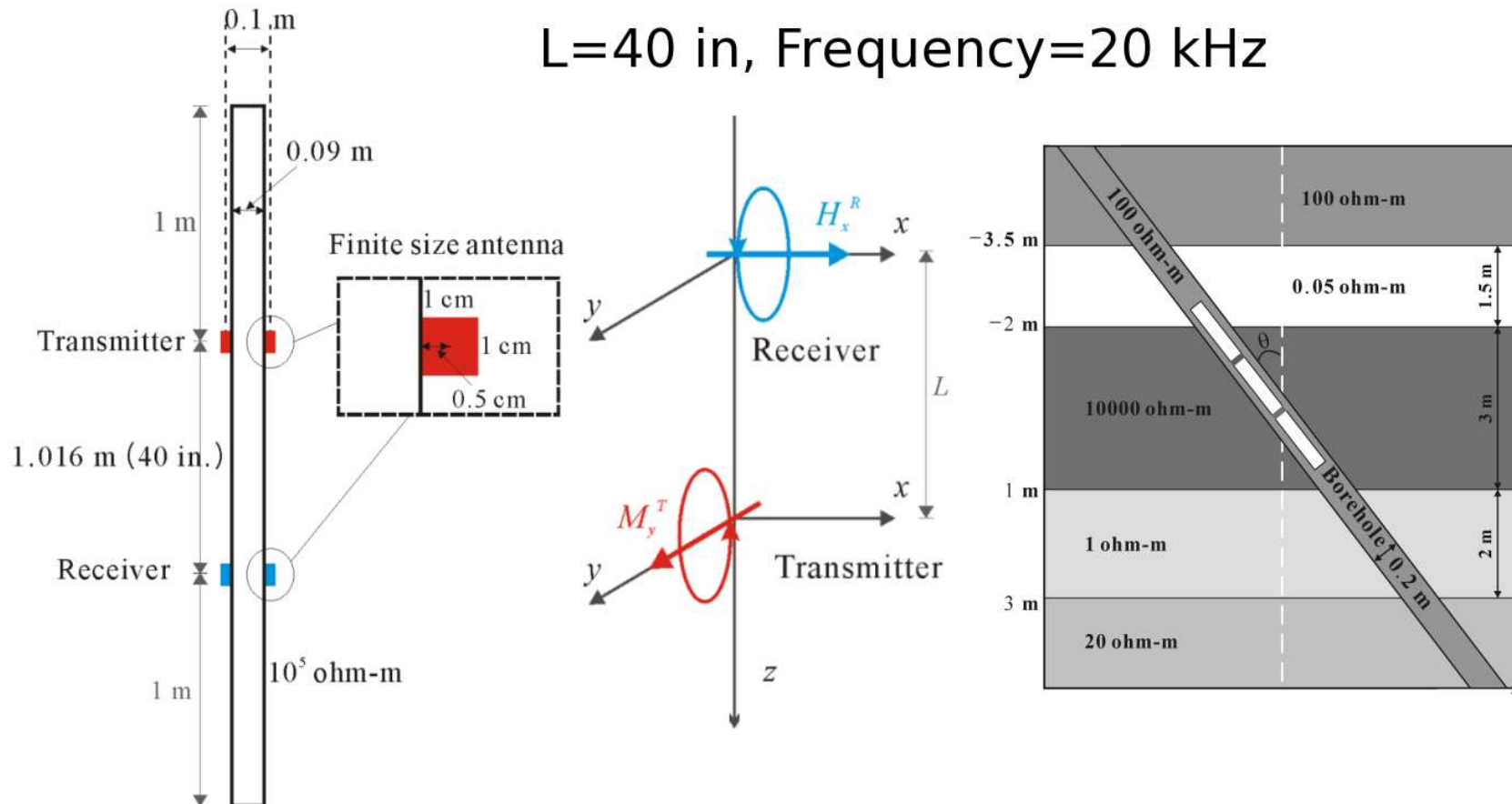
$$\begin{array}{ccccccccc}
 \mathbb{R} & \longrightarrow & W & \xrightarrow{\nabla} & Q & \xrightarrow{\nabla \times} & V & \xrightarrow{\nabla \circ} & L^2 & \longrightarrow & 0 \\
 \downarrow id & & \downarrow \Pi & & \downarrow \Pi^{\text{curl}} & & \downarrow \Pi^{\text{div}} & & \downarrow P & & \\
 \mathbb{R} & \longrightarrow & W^p & \xrightarrow{\nabla} & Q^p & \xrightarrow{\nabla \times} & V^p & \xrightarrow{\nabla \circ} & W^{p-1} & \longrightarrow & 0 .
 \end{array}$$

Este diagrama relaciona dos sucesiones de espacios exactas (en el sentido matemático), una formada por espacios de dimensión infinita, y otra formada por espacios de dimensión finita, por medio de unos interpoladores.

# simulación de problemas directos (hp-mef)

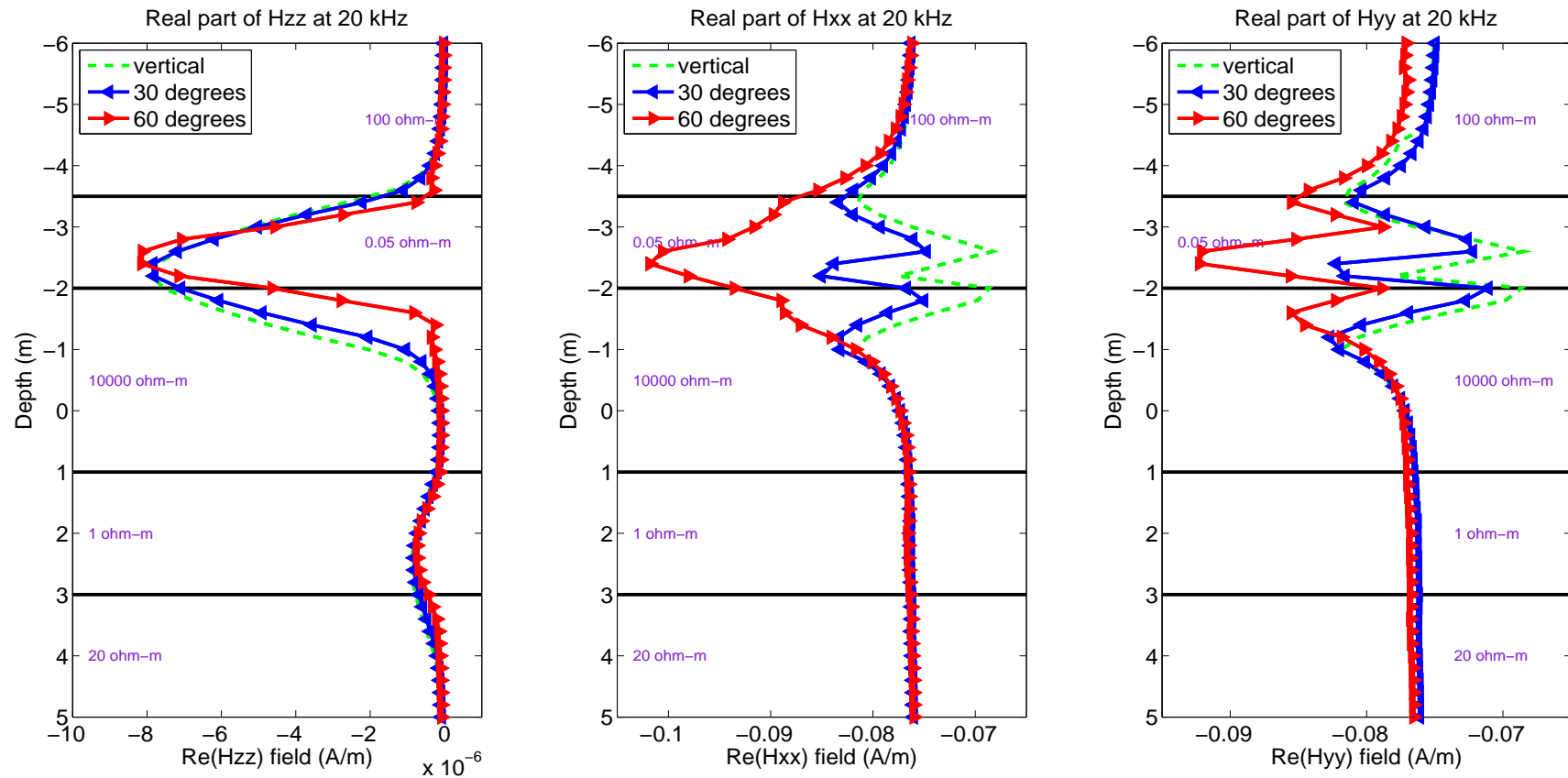
## Mediciones a Través de una Tubería (Invasión)

$L=40$  in, Frequency=20 kHz



# simulación de problemas directos (hp-mef)

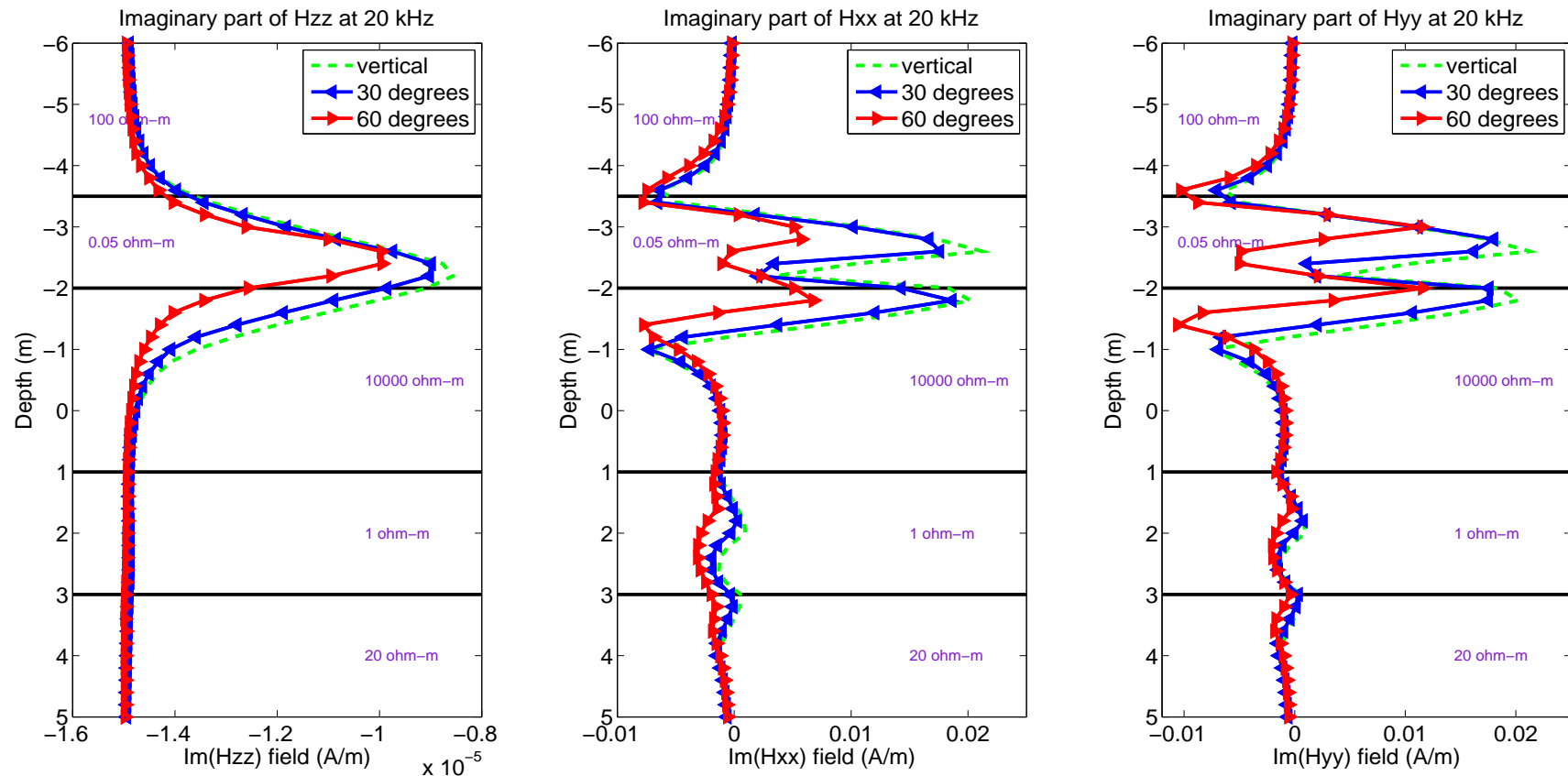
## Herramienta Tri-axial de Inducción



**Las herramientas tri-axiales son sensibles al ángulo de penetración**

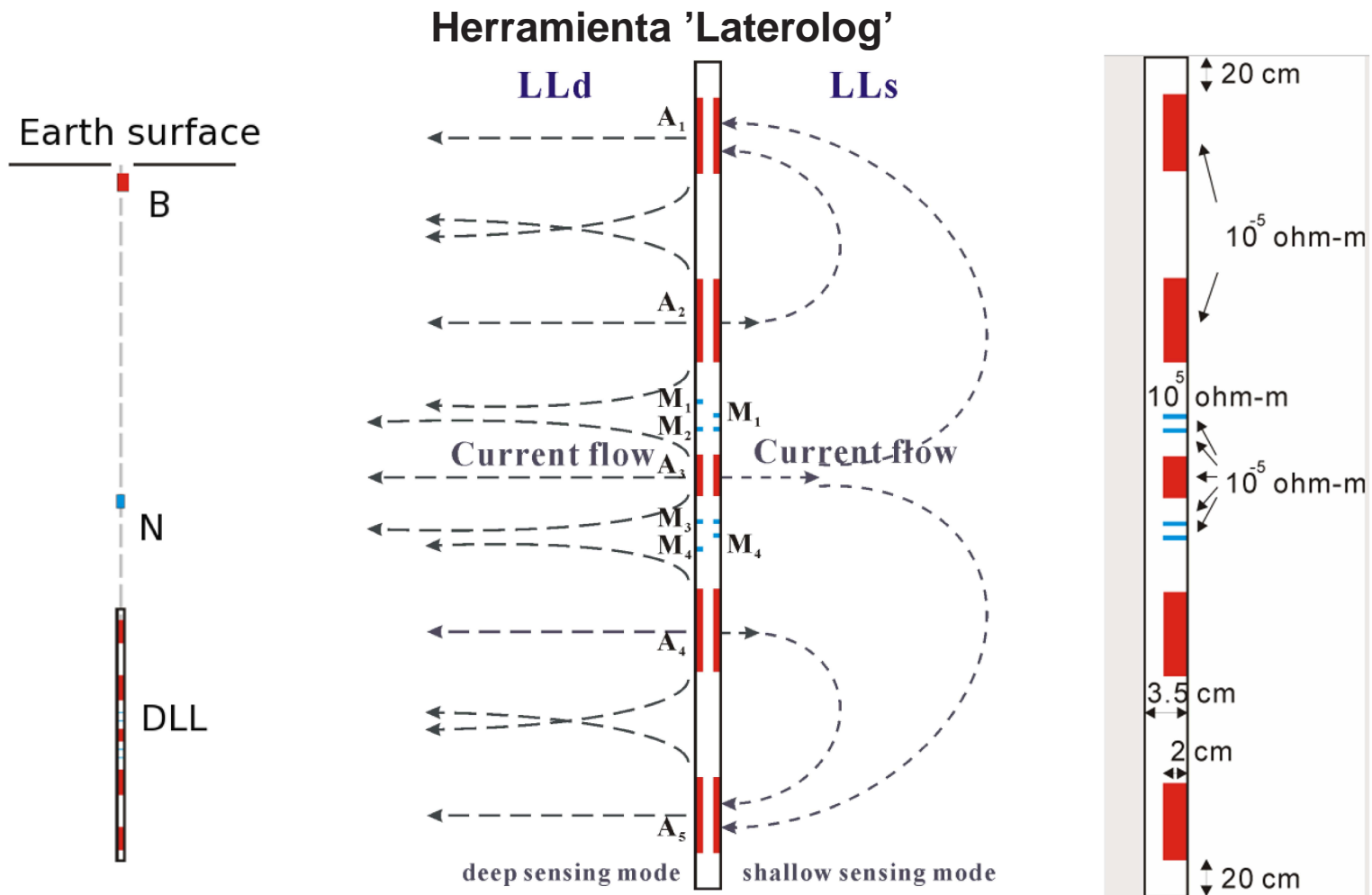
# simulación de problemas directos (hp-mef)

## Herramienta Tri-axial de Inducción



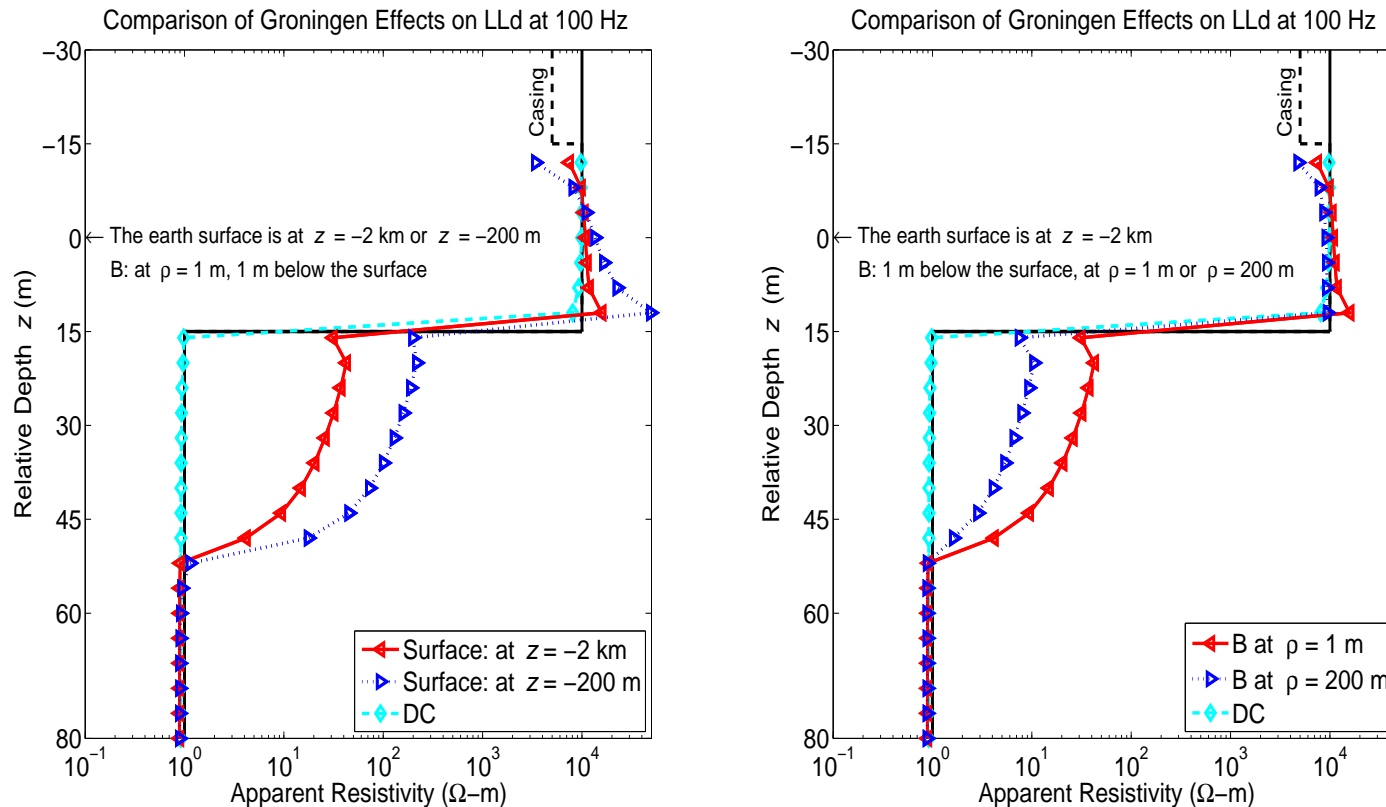
**Las herramientas tri-axiales son sensibles al ángulo de penetración**

# simulación de problemas directos (hp-mef)



# simulación de problemas directos (hp-mef)

## Efecto de Groningen

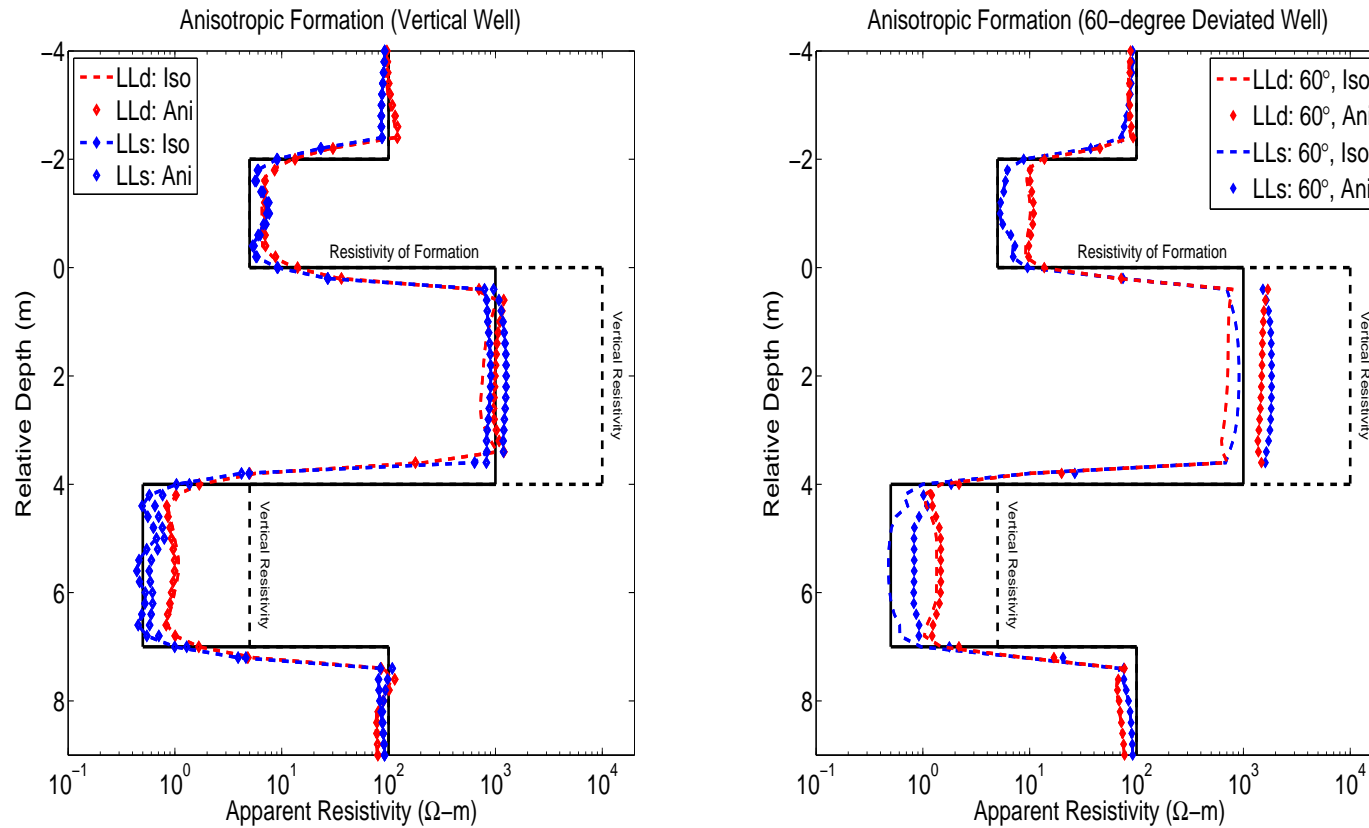


**El efecto de Groningen se incrementa a medida que alejamos el instrumento de medición del electrodo B**



# simulación de problemas directos (hp-mef)

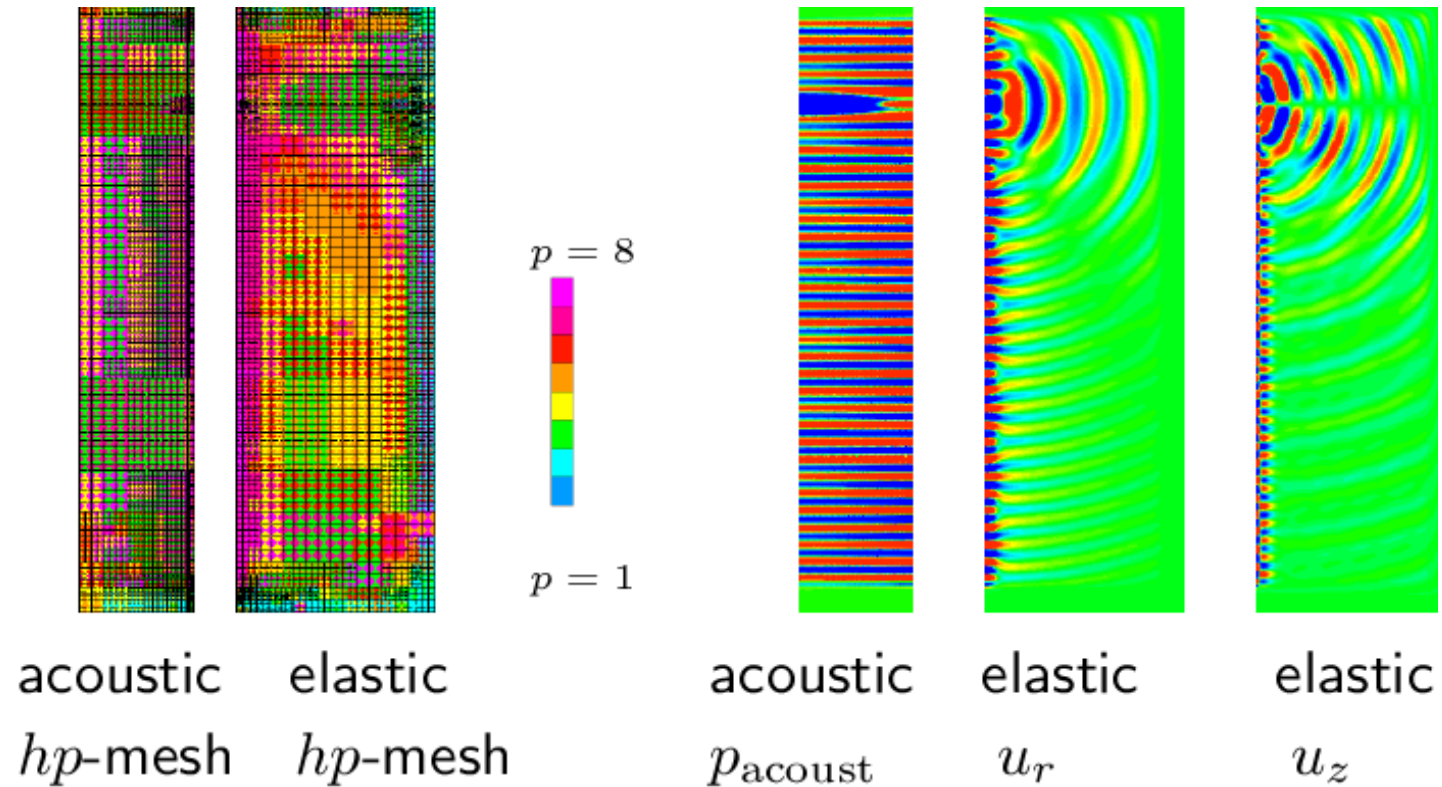
## Herramientas 'Laterolog' en Pozos Desviados



**En pozos desviados es más fácil identificar la anisotropía**

# simulación de problemas directos (hp-mef)

## Mallado $hp$ y solución



8 KHz, acústica, modelado sin los materiales de la herramienta de prospección.

# librería para inversión multifísica

---

## Formulación Variacional (DC)

Notación:

$$B(u, v; \sigma) = \langle \nabla v, \sigma \nabla u \rangle_{L^2(\Omega)} \quad (\text{bilinear } u, v)$$

$$F_i(v) = \langle v, f_i \rangle_{L^2(\Omega)} + \langle v, g_i \rangle_{L^2(\partial\Omega)} \quad (\text{linear } v)$$

$$L_i(u) = \langle l_i, u \rangle_{L^2(\Omega)} + \langle h_i, u \rangle_{L^2(\partial\Omega)} \quad (\text{linear } u)$$

**Problema Directo (Condiciones de Frontera de Dirichlet Homogéneas):**

$$\begin{cases} \text{Encontrar } \hat{u}_i \in V \text{ tal que :} \\ B(\hat{u}_i, v; \sigma) = F_i(v) \quad \forall v \in V \end{cases}$$

**Problema Adjunto (Dual):**

$$\begin{cases} \text{Encontrar } \hat{v}_i \in V \text{ tal que :} \\ B(u, \hat{v}_i; \sigma) = L_i(u) \quad \forall u \in V \end{cases}$$

# librería para inversión multifísica

## Formulación Variacional (AC)

Notación:

$$B(\mathbf{E}, \mathbf{F}; \sigma) = \langle \nabla \times \mathbf{F}, \mu^{-1} \nabla \times \mathbf{E} \rangle_{L^2(\Omega)} - \langle \mathbf{F}, (\omega^2 \epsilon - j\omega\sigma) \mathbf{E} \rangle_{L^2(\Omega)}$$

$$F_i(\mathbf{F}) = -j\omega \langle \mathbf{F}, \mathbf{J}_i^{imp} \rangle_{L^2(\Omega)} + j\omega \langle \mathbf{F}, \mathbf{J}_{S,i}^{imp} \rangle_{L^2(\partial\Omega)}$$

$$L_i(\mathbf{E}) = \langle \mathbf{J}_i^{adj}, \mathbf{E} \rangle_{L^2(\Omega)} + \langle \mathbf{J}_{S,i}^{adj}, \mathbf{E} \rangle_{L^2(\partial\Omega)}$$

**Problema Directo (Condiciones de Frontera de Dirichlet Homogéneas):**

$$\begin{cases} \text{Encontrar } \hat{\mathbf{E}}_i \in \mathbf{W} \text{ tal que :} \\ B(\hat{\mathbf{E}}_i, \mathbf{F}; \sigma) = F_i(\mathbf{F}) \quad \forall \mathbf{F} \in \mathbf{W} \end{cases}$$

**Problema Adjunto (Dual):**

$$\begin{cases} \text{Encontrar } \hat{\mathbf{F}}_i \in \mathbf{W} \text{ tal que :} \\ B(\mathbf{E}, \hat{\mathbf{F}}_i; \sigma) = L_i(\mathbf{E}) \quad \forall \mathbf{E} \in \mathbf{W} \end{cases}$$

# librería para inversión multifísica

## Problema No Lineal de Optimización

Funcional de costo:

$$\begin{cases} \text{Encontrar } \sigma > 0 \text{ tal que minimiza } C_\beta(\sigma), \text{ donde :} \\ C_\beta(\sigma) = \|W_m(L(\hat{u}_\sigma) - M)\|_{l_2}^2 + \beta \|R(\sigma - \sigma_0)\|_{L_2}^2, \end{cases}$$

donde

$M_i$  denota la medición  $i$ ,  $M = (M_1, \dots, M_n)$

$L_i$  es la cantidad de interés asociada a la medición  $i$ ,  $L = (L_1, \dots, L_n)$

$$\|M\|_{l_2}^2 = \sum_{i=1}^n M_i^2 \quad ; \quad \|R(\sigma - \sigma_0)\|_{L_2}^2 = \int (R(\sigma - \sigma_0))^2$$

$\beta$  es el parámetro de relajación,  $\sigma_0$  es "conocido",  $W_m$  son pesos

**Objetivo principal (problema de inversión: Encontrar  $\hat{\sigma} = \min_{\sigma > 0} C_\beta(\sigma)$**

# librería para inversión multifísica

---

## Resolviendo un Problema de Optimización No Lineal

Seleccionamos el siguiente método iterativo determinístico:

$$\sigma^{(n+1)} = \sigma^{(n)} + \alpha^{(n)} \delta \sigma^{(n)}$$

- **Cómo encontramos la dirección  $\delta \sigma^{(n)}$  ?**
  - Utilizamos un cambio de coordenadas y una expansión de Taylor (truncada).
- **Cómo determinamos el paso  $\alpha^{(n)}$ ?**
  - Con un paso fijo o con una aproximación basada en el cálculo repetido de  $L(\sigma^{(n)} + \alpha^{(n)} \delta \sigma^{(n)})$ .
- **Cómo imponemos las condiciones no lineales de la solución?**
  - Utilizando las condiciones de Karush-Kuhn-Tucker (KKT) o con un método de penalización, o utilizando un cambio de variables.

# librería para inversión multifísica

---

## Dirección de Búsqueda

Cambio de coordenadas:

$$h(s) = \sigma \quad \Rightarrow \quad \text{Encontrar } \hat{s} = \min_{h(s) > 0} C_\beta(s)$$

Expansión de Taylor:

$$\text{A) } C_\beta(s + \delta s) \approx C_\beta(s) + \delta s \nabla C_\beta(s) + 0.5 \delta s^2 H_{C_\beta}(s)$$

$$\text{B) } L(s + \delta s) \approx L(s) + \delta s \nabla L(s), \quad R(s + \delta s) = R(s) + \delta s \nabla R(s)$$

Expansión A): Método de **Newton-Raphson**.

Expansión B): Método de **Gauss-Newton**.

Expansión A) con  $H_{C_\beta} = I$ : Método de **steepest descent method**.

Expansiones de Taylor de orden superior requieren el uso de derivadas de alto orden, y búsqueda de ceros de polinomios de alto orden.

# librería para inversión multifísica

## Cálculo de la Matriz Jacobiana

Utilizando la derivada de Fréchet:

$$\frac{\partial L_i(\hat{u}_i)}{\partial s_j} = B \left( \frac{\partial \hat{u}_i}{\partial s_j}, \hat{v}_i, h(s) \right) + B \left( \hat{u}_i, \frac{\partial \hat{v}_i}{\partial s_j}, h(s) \right) + B \left( \hat{u}_i, \hat{v}_i, \frac{\partial h(s)}{\partial s_j} \right)$$

||

$$L_i \left( \frac{\partial \hat{u}_i}{\partial s_j} \right) = B \left( \frac{\partial \hat{u}_i}{\partial s_j}, \hat{v}_i, h(s) \right)$$

||

$$F_i \left( \frac{\partial \hat{v}_i}{\partial s_j} \right) = B \left( \hat{u}_i, \frac{\partial \hat{v}_i}{\partial s_j}, h(s) \right)$$

Conclusión:

$$\text{Matriz Jacobiana} = \frac{\partial L_i(\hat{u}_i)}{\partial s_j} = -B \left( \hat{u}_i, \hat{v}_i, \frac{\partial h(s)}{\partial s_j} \right)$$

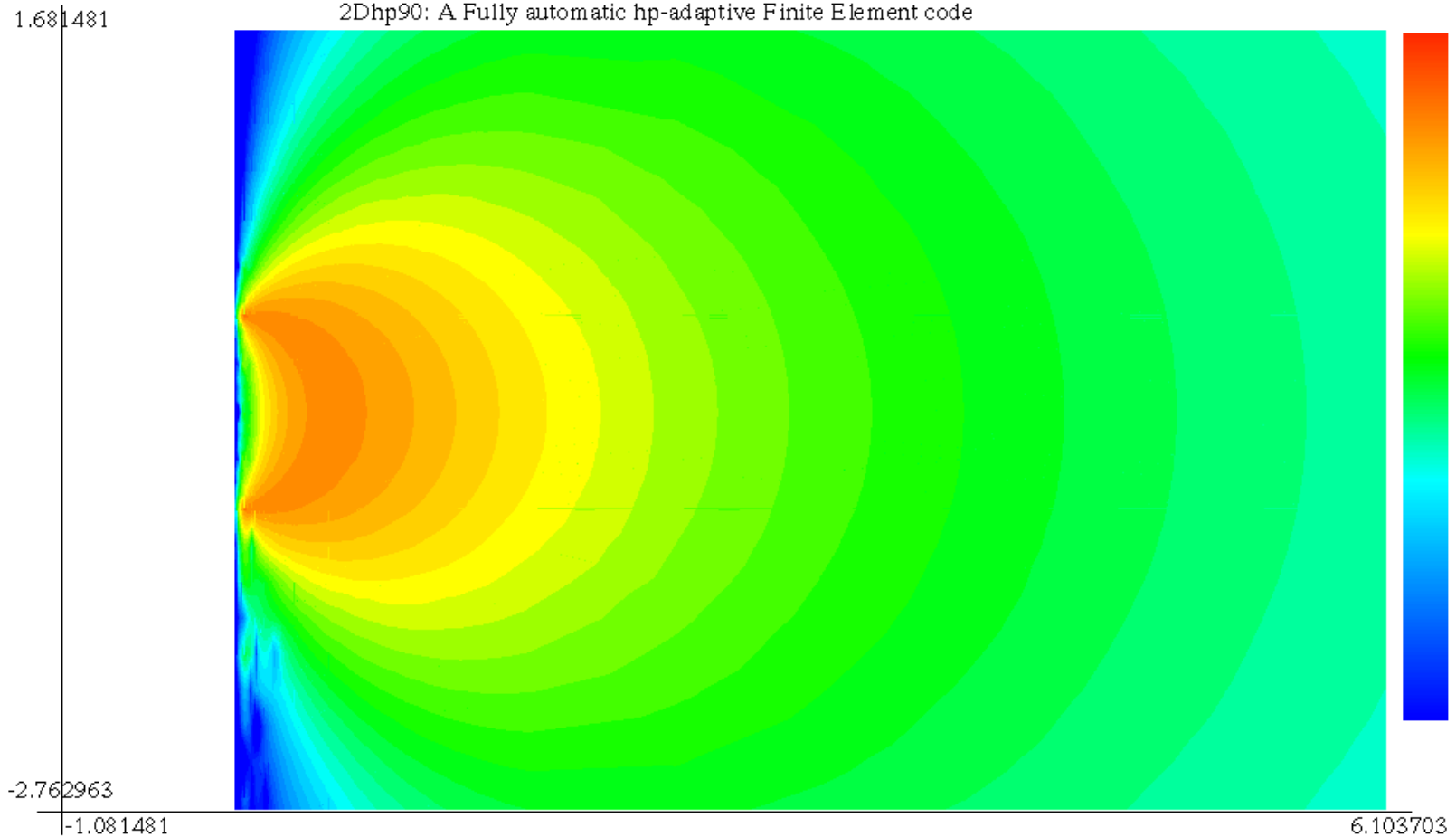




# librería para inversión multifísica

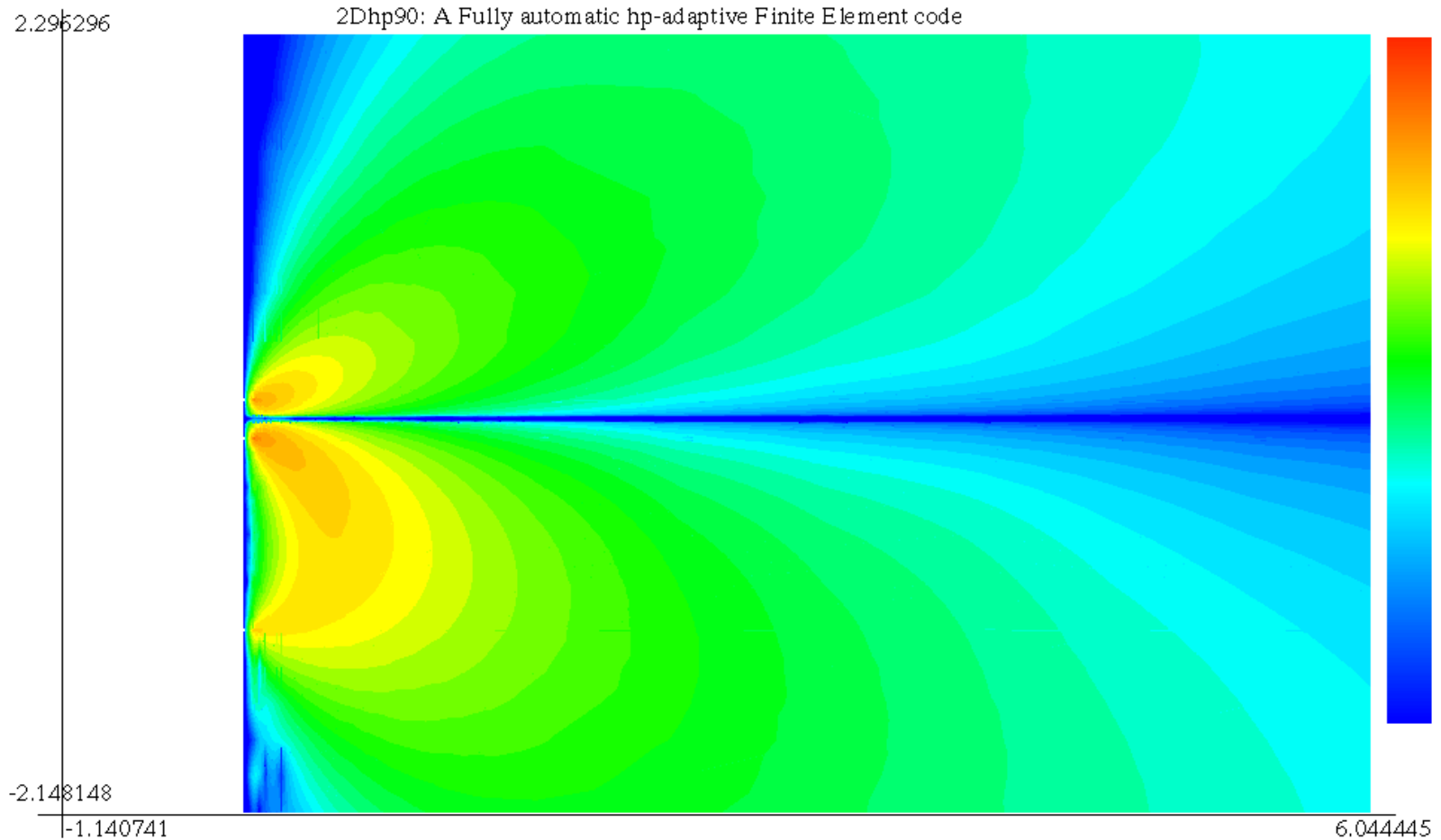
## Función Jacobiana: Un transmisor, un receptor

2Dhp90: A Fully automatic hp-adaptive Finite Element code



# librería para inversión multifísica

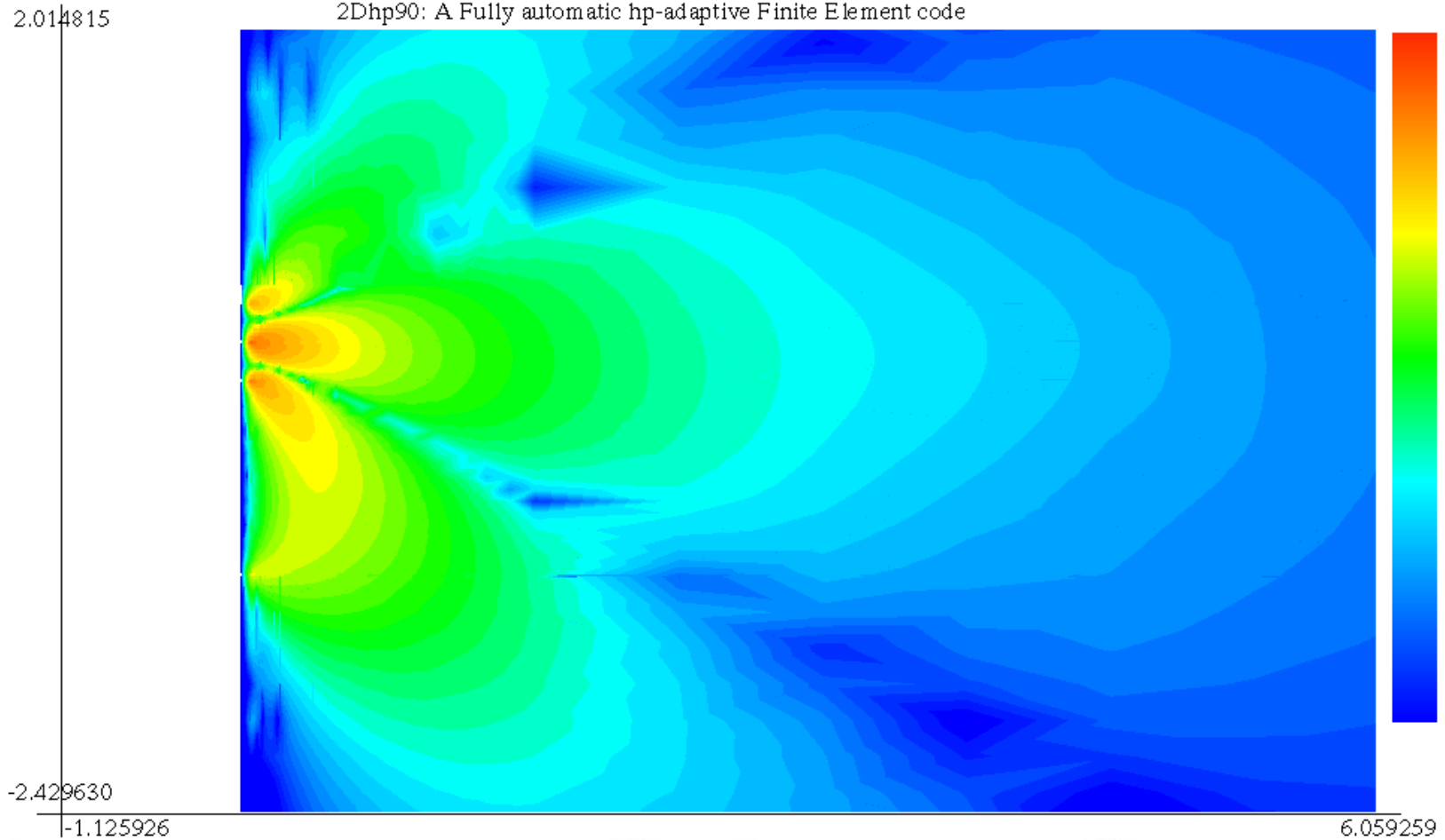
## Función Jacobiana: Un transmisor, dos receptores



# librería para inversión multifísica

## Función Jacobiana: Un transmisor, tres receptores

2Dhp90: A Fully automatic hp-adaptive Finite Element code



# librería para inversión multifísica

## Cálculo de la Matriz Hessiana

Siguiendo un razonamiento similar al utilizado para el cálculo de la matriz Jacobiana, obtenemos:

$$\frac{\partial^2 L_i(\hat{u}_i)}{\partial s_j \partial s_k} = -B \left( \frac{\partial \hat{u}_i}{\partial s_j}, \hat{v}_i, \frac{\partial h(s)}{\partial s_k} \right) - B \left( \hat{u}_i, \frac{\partial \hat{v}_i}{\partial s_j}, \frac{\partial h(s)}{\partial s_k} \right) - B \left( \hat{u}_i, \hat{v}_i, \frac{\partial^2 h(s)}{\partial s_j \partial s_k} \right)$$

Cómo obtenemos  $\frac{\partial \hat{u}_i}{\partial s_j}$  and  $\frac{\partial \hat{v}_i}{\partial s_j}$ ?

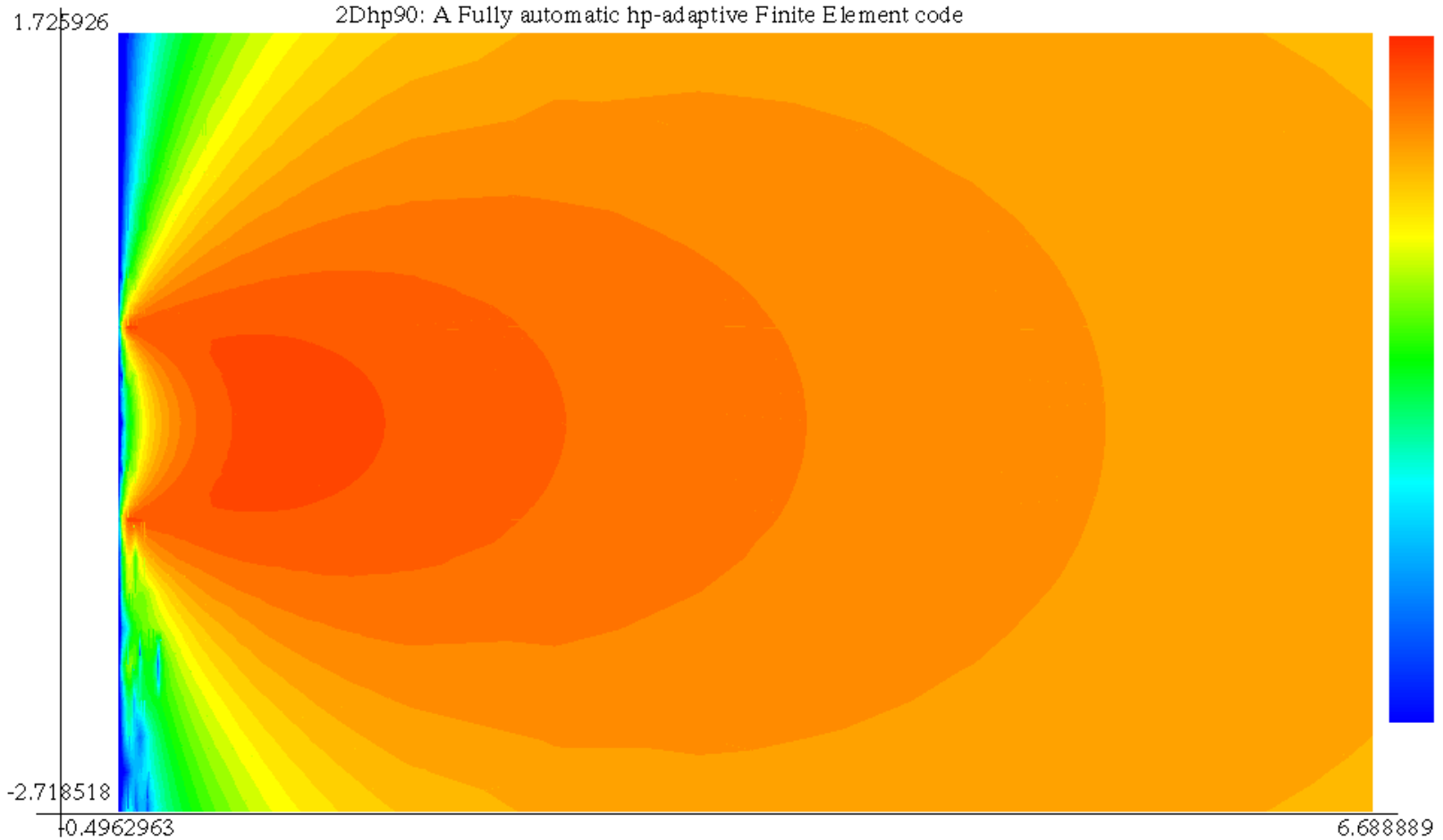
Encontrar  $\frac{\partial \hat{u}_i}{\partial s_j}$  tal que :  $B \left( \frac{\partial \hat{u}_i}{\partial s_j}, v_i, h(s) \right) = -B \left( \hat{u}_i, v_i, \frac{\partial h(s)}{\partial s_j} \right) \quad \forall v_i$

Encontrar  $\frac{\partial \hat{v}_i}{\partial s_j}$  tal que :  $B \left( \frac{\partial \hat{v}_i}{\partial s_j}, u_i, h(s) \right) = -B \left( \hat{v}_i, u_i, \frac{\partial h(s)}{\partial s_j} \right) \quad \forall u_i$

**Podemos calcular la matriz Hessiana de forma EXACTA resolviendo un único problema con múltiples términos en la derecha de la ecuación e integrando.**

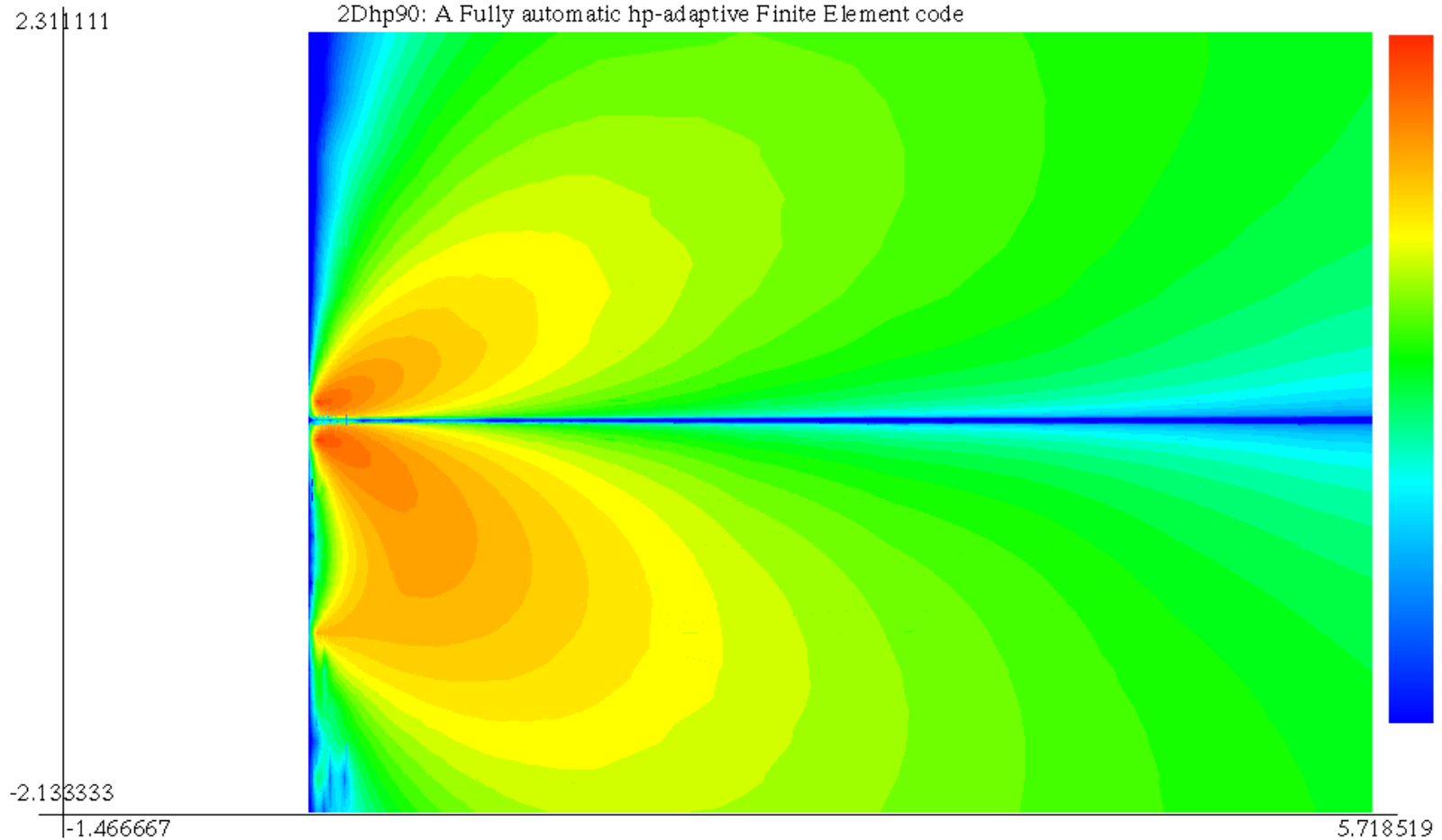
# librería para inversión multifísica

## Función Hessiana: Un transmisor, un receptor



# librería para inversión multifísica

## Función Hessiana: Un transmisor, dos receptores



# librería para inversión multifísica

## Función Hessiana: Un transmisor, tres receptores

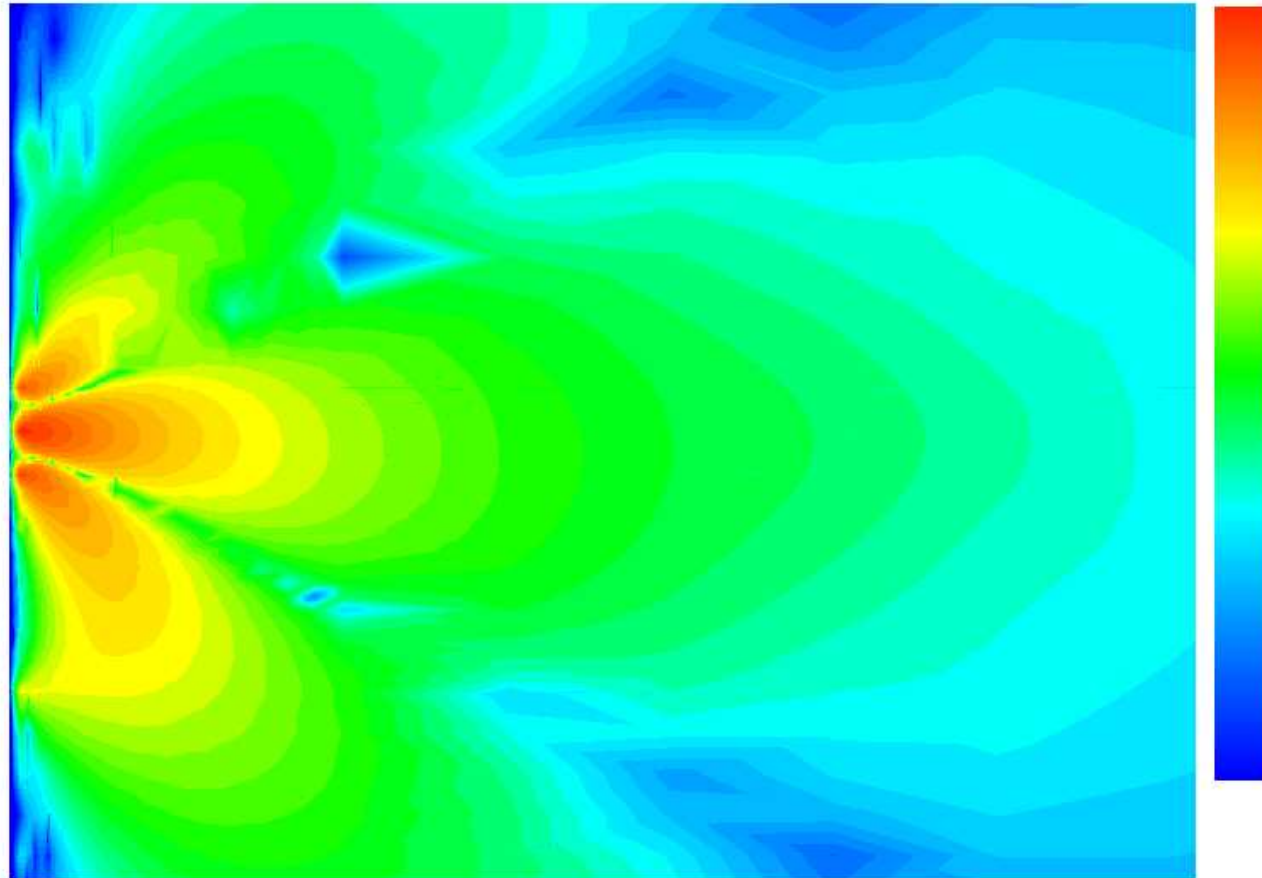
2.370370

2Dhp90: A Fully automatic hp-adaptive Finite Element code

-2.074074

-1.592593

5.592593



# librería para inversión multifísica

## Librería de inversión

JOINT MULTI-PHYSICS INVERSION LIBRARY

CONSTRAINED  
OPTIMIZATION

1. KKT- Conditions
2. Penalization Method
3. Change of coordinates

SEARCH DIRECTIONS

1. Steepest Descent
2. Gauss-Newton
3. Newton-Raphson

STEP SIZE

1. Uniform step-size
2. Variable step-size  
(multiple algorithms)

**La librería de inversión permite combinar múltiples algoritmos.**

**La matriz Jacobian y Hessiana las calculamos de forma EXACTA utilizando una técnica basada en la resolución del problema adjunto.**

**La librería de inversión es compatible con problemas multifísicos.**



## conclusiones

---

- Hemos descrito un método numérico eficiente para la resolución de ecuaciones en derivadas parciales basado en una estrategia de refinamientos automáticos orientados a un objetivo en  $hp$ .
- Estamos ampliando este método para el caso de problemas multifísicos.
- Estamos ampliando este método para el caso de problemas inversos.
- El objetivo principal es la resolución de problemas multifísicos inversos con aplicaciones a la industria del petróleo, aeronáutica y medicina.
- Para lograr dicho objetivo, necesitamos estudiantes y colaboradores a todos los niveles.

